

# بهینه‌یابی دکل‌های انتقال نیرو به کمک الگوریتم ژنتیک و شبکه‌های عصبی

علی کاوه (استاد)

دانشکده های مهندسی عمران، دانشگاه علم و صنعت ایران

یعقوب قلی‌بور (دانشیار)

حسین رحامی (استادیار)

بردیس دانشکده های فنی، دانشکده های مهندسی عمران، دانشگاه تهران

دکل‌های انتقال نیرو از اجزای مهم و اصلی خطوط انتقال نیرو هستند که در برقرارسانی نقش مهمی را ایفا می‌کنند. دکل‌های انتقال نیرو ضمん این که عهددار نگه‌داری های در فاصله‌ی معینی از زمین هستند، باید قادر به تحمل نیروهای مکانیکی وارده بر خود در پذیرین شرایط محیطی و جوی باشند. با توجه به تعدد اعضای این سازه‌ها و هزینه‌ی بالای هریک، هم از نظر مصالح و هم اجراء، بهینه‌سازی آنها می‌تواند بسیار حائز اهمیت باشد. این سازه‌ها معمولاً تحت اثر ترکیب بارگذاری‌های متعدد قرار گرفته و در روند بهینه‌سازی با تحلیل‌های متعدد روبه رو خواهیم بود. در این گزارش از الگوریتم ژنتیک برای بهینه‌سازی استفاده شده است. یکی از مشکلات موجود در استفاده از الگوریتم ژنتیک برای بهینه‌یابی سازه‌ها این است که باید به ازای هر رشتة، هر نسل از یک برنامه‌ی تحلیل‌گر محاسبات مربوط را انجام دهد. چنین امری مستلزم معکوس سازی ماتریس‌ها است. در بررسی دکل‌ها دیده شد که با زیاد شدن اعضا و نیز در شرایطی که بهینه‌یابی هندسه‌ی دکل نیز مدنظر باشد، هم‌گردی این روش بسیار کند است. در این شرایط از ترکیب شبکه‌های عصبی و الگوریتم ژنتیک استفاده شده است. بهینه‌سازی که وظیفه‌ی قسمتی از تحلیل دکل به‌عهده‌ی شبکه است. استفاده از شبکه در کنار ژنتیک سرعت هم‌گردی را بسیار بالا می‌برد. الگوریتم ژنتیک نیز چند جمعیتی انتخاب شده است. به طور خلاصه هدف از این نوشتار تأثیر بهارگیری شبکه و عدم استفاده از آن و نیز مقایسه تأثیر استفاده از ژنتیک چند جمعیتی است.

alikaveh@iust.ac.ir  
ygpoor@ut.ac.ir  
hrahami@iust.ac.ir

واژگان کلیدی: دکل‌های انتقال نیرو، بهینه‌سازی، الگوریتم ژنتیک.

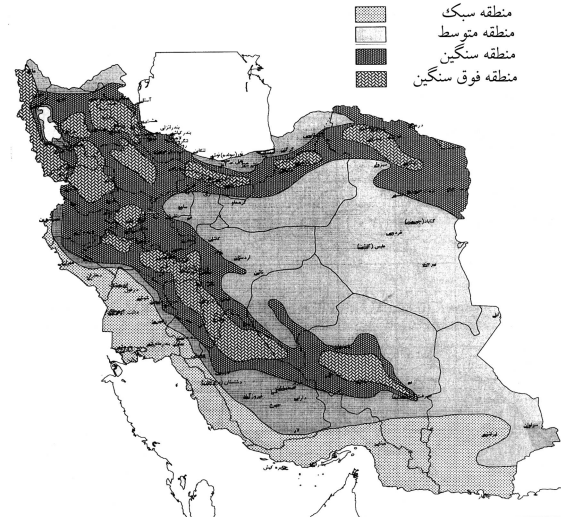
## مقدمه

دکل‌های انتقال نیرو در خطوط انتقال ولتاژ بالا، با دهانه‌های بلند کاربرد دارند. این دکل‌ها چون از قابلیت طراحی برمبنای شرایط محیطی مسیر برخوردارند، کاربرد بسیار گسترده‌ی در خطوط انتقال نیرو دارند. امکان بهره‌گیری از این نوع دکل‌ها در شرایط بار مکانیکی متفاوت و نیز ساخت و احداث آنها برای خطوط چند مداره از دیگر خصوصیات مطلوب آنها است. مرايا و معایب این نوع دکل‌ها در مقایسه با سایر پایه‌های انتقال نیرو، در ادامه ارائه می‌شود. مرايا استفاده از این دکل‌ها عبارت از از امکان استفاده از آنها در دهانه‌های خیلی بلند، تقلیل اثر سوء برخورد صاعقه با دکل‌ها، انعطاف‌پذیری آنها در مقابل نیروهای مکانیکی، سهولت حمل و نقل، سهولت موتوری و نصب در شرایط منطقه، امکان ساخت با ارتفاع‌های مختلف، برخورداری از عمر طولانی، سهولت طراحی و ساخت آنها برای شرایط متفاوت محیطی و سهولت تعمیرات و جایگزینی قطعات. معایب این دکل‌ها نیز در مقابل سایر پایه‌ها عبارت است از: نیاز به فونداسیون بیشتر، نیاز به مواد و مصالح بیشتر، بهنای بیشتر، افزایش زمان نصب، امکان جداشدن و جداکردن نیشی‌ها، امکان

## بارگذاری دکل‌های انتقال نیرو

دکل‌های خطوط انتقال نیرو سازه‌هایی هستند که برای نگه‌داری سیم‌های جریان فشارقوی طراحی می‌شوند؛ و بنابراین باید برای شرایط مختلفی که در طول عمر خط انتقال پیش خواهد آمد بارگذاری شده و طراحی شوند. بارگذاری دکل‌ها براساس نیروی اعمال شده توسط سیم‌ها و زنجیره‌ی مقره در محل اتصال آن به دکل صورت می‌گیرد. بنابراین برای سادگی محاسبه، نیروهای مذکور را در محل اتصال سیم‌ها و زنجیره به دکل در سه جهت قائم، افقی و طولی تجزیه و جدا از یکدیگر محاسبه می‌کنیم. در محاسبه‌ی این نیروها شرایط بارگذاری

نقشه پهنه‌بندی مناطق چهارگانه آب و هوایی کشور



شکل ۱. نقشه‌ی پهنه‌بندی مناطق چهارگانه‌ی بارگذاری کشور.

## محاسبه‌ی نیروی طولی\*

نیروی طولی حاصل از اختلاف مؤلفه‌ی طولی نیروی کشش سیم در دو دهانه‌ی مجاور دکل باید محاسبه شود. در حالت بارگذاری غیرمتعادل، شرایط بارگذاری در دهانه‌های دو طرف دکل یکسان نبوده و نیروهایی به صورت غیرمتعادل -- علاوه بر نیروهای محاسبه شده در بخش قبل -- ظاهر می‌شود که لازم است در روابط مربوطه اصلاحاتی صورت پذیرد.

## بار ناشی از وزن دکل

وزن دکل عبارت است از مجموع وزن اعضای تشکیل‌دهنده‌ی دکل شامل نیشی‌ها و صفحه‌های نگدارنده و پیچ و مهره و واشر که در هر مقطع از دکل (بانل) محاسبه و به صورت نیروی قائم در طراحی در نظر گرفته می‌شود. نحوه محاسبه‌ی نیروی حاصل از وزن دکل در دستورالعمل طراحی دکل آمده است. باید توجه داشت که در محاسبه‌ی وزن دکل، در صورت وجود پیچ از وزن پیچ روی اعضا صرف نظر می‌شود.

## بار ناشی از فشار باد روی دکل

فشار باد روی سطح اعضای دکل به صورت نیروی عرضی در طراحی دکل اعمال می‌شود. نحوه محاسبه‌ی سطح بادخور دکل و فشار باد روی دکل در دستورالعمل طراحی دکل آمده است.

## ضرایب اضافه بار

روش طراحی دکل‌های انتقال نیرو مبتنی بر روش بارهای نهائی است. در این روش بارهای طراحی قبلًا با توجه به ارزش و کیفیت آنها در ضرایب بار متفاوتی ضرب می‌شوند. در این روش تنش‌های نهائی ایجاد شده در اعضای دکل با تنش تسلیم آنها مقایسه می‌شوند. ضرایب پیشنهادی این دستورالعمل در جدول ۲ آورده شده است.

## مبانی طراحی

مبانی طراحی دکل‌ها در آئینه‌های مختلف آمده است.<sup>[۳-۶]</sup> در اینجا صرفاً خواص مرتبط با تنش‌های فشاری ارائه می‌شود. تنش فشاری مجاز با استفاده از فرمول‌های زیر محاسبه می‌شود:

منطقه‌یی که خط انتقال در آن احداث خواهد شد در نظر گرفته می‌شود. شرایط بارگذاری شامل مقدادر سرعت مبنای باد، مقدار پیچ و حالات مختلف بارگذاری از نقشه‌ی پهنه‌بندی ایران قابل استخراج است (جدول ۱).

در طراحی خطوط انتقال نیرو، دسترسی به مشخصه‌ی آب و هوایی واقعی یکی از نیازهای اساسی است. شرایط آب و هوایی مناطق مختلف که مسیر خطوط انتقال نیرو از آنها می‌گذرد، در انتخاب شرایط بارگذاری مناسب و طراحی و محاسبات مکانیکی برای تجهیزات خطوط انتقال نیرو، و در نتیجه بهینه‌کردن مشخصات خط به لحاظ فنی و اقتصادی و تأمین قابلیت اعتماد مورد نظر نقشه تعیین‌کننده دارد. به دلیل در دسترس نبودن آمار هواشناسی دقیق و جامع مورد نیاز برای انتخاب شرایط بارگذاری مناسب برای خطوط انتقال نیرو در مناطق مختلف کشور، تعیین شرایط بارگذاری بر مبنای مشخصات طراحی خطوط موجود و تطبیق شرایط منطقه با مشخصه‌ی آب و هوایی بعضی از استانداردهای طراحی بین‌المللی بهخصوص استاندارد بارگذاری دکل‌ها در آمریکا (NESC)<sup>۱</sup> انجام گرفته است.

در ایران، نقشه‌ی پهنه‌بندی آب و هوایی کشور با استفاده از آمار هواشناسی ایستگاه‌های موجود در سطح کشور و پردازش این اطلاعات، و نیز نقشه‌های پهنه‌بندی قدیمی موجود در شرکت متنانیر تهیه شده است (شکل ۱). بارهای روی دکل شامل مؤلفه‌های قائم، افقی، طولی و ترکیباتی از آنها است که آئین نامه‌ی بارگذاری مربوط به آن پرداخته است.<sup>[۱-۲]</sup> در ادامه خلاصه‌ی از نکات این آئین نامه -- بدون ذکر فرمول‌های مربوطه -- ارائه می‌شود.

## محاسبه‌ی نیروی قائم<sup>۲</sup>

بارهای قائم شامل بار قائم حاصل از وزن سیم، بار قائم حاصل از وزن پیچ، و بار قائم حاصل از وزن مقره و براق‌آلات است. با توجه به شرایط آب و هوایی مسیر خطوط انتقال، به خصوص در مناطق کوهستانی، تشکیل پیچ روی سیم هادی و محافظ متحمل است. همچنین بار حاصل از وزن مقره و براق‌آلات با توجه به نقشه‌ی زنجیره‌ی مقره براساس تعداد مقره و وزن هر مقره و وزن ملحقات زنجیره باشستی محاسبه شود.

جدول ۱. شرایط بارگذاری برای مناطق چهارگانه‌ی آب و هوایی کشور (براساس پنهانی ایران).

(الف)

نوع منطقه	نوع بارگذاری	درجه حرارت	یخ (ضخامت شعاعی)	باد	مقدار ثابت
سبک (۱)	بارگذاری متعادل	باد متوسط	-	۲۸(۵۰)	-
	استاندارد	NESC-HEAVY	-۱	۲۶,۵(۴۴)	-
	بارگذاری	باد شدید	۰	۴۵(۱۲۶)	-
	حدی	یخ و باد	-۵	۲۲(۳۰)	۶
	بار طولی نامتعادل - پارگی سیم در باد شدید	یخ	۰	۴۵(۱۲۶)	-
	بار طولی متعادل:	باد	-۵	۲۲(۳۰)	۶-۰
	- یخ و باد در یک طرف آسیان	باد	-	-	-
	- باد بدون یخ در طرف دیگر	باد	-	-	-
	شرایط EDS	-	-	-	۲۵
	حداقل درجه حرارت	-۵	-	-	-
متوسط (۲)	حداکثر درجه حرارت	۵۰ - ۵۵*	-	-	-
	استاندارد	باد متوسط	-۱۰	۲۵(۴۰)	۷
	بارگذاری	NESC-MEDIUM	-۱۰	۱۷,۸(۲۰)	۶,۵
	حدی	باد شدید	۱۵	۴۰(۱۰۰)	-
	بار طولی نامتعادل - پارگی سیم در یخ سنگین	یخ سنگین	-۵	-	۱۵
	بار طولی متعادل:	باد	-۵	-	۱۵
	- یخ و باد در یک طرف آسیان	باد	-۱۰	۲۵(۴۰)	۷-۰
	- باد بدون یخ در طرف دیگر	باد	-	-	-
	شرایط EDS	-	-	-	۲۰
	حداقل درجه حرارت	-۲۰	-	-	-
سنگین (۳)	حداکثر درجه حرارت	۴۵-۴۰	-	-	-
	استاندارد	باد متوسط	-۲۰	۲۰(۲۵)	۱۵
	بارگذاری	NESC-HEAVY	-۲۰	۱۷,۸(۲۰)	۱۲,۵
	حدی	باد شدید	۱۵	۴۰(۱۰۰)	-
	بار طولی نامتعادل - پارگی سیم در باد شدید	یخ و باد	-۵	-	۲۰ - ۲۵*
	بار طولی متعادل:	باد	-۵	-	۲۰ - ۲۵*
	- یخ و باد در یک طرف آسیان	باد	-	۲۰(۲۵)	۱۵ - ۰
	- باد بدون یخ در طرف دیگر	باد	-۲۰	-	-
	شرایط EDS	-	-	-	۱۸
	حداقل درجه حرارت	-۲۵	-	-	-
فوق سنگین (۴)	حداکثر درجه حرارت	۳۵-۴۰	-	-	-
	استاندارد	باد متوسط	-۲۰	۲۰(۲۵)	۲۰
	بارگذاری	NESC-HEAVY	-۲۰	۴۰(۱۰۰)	-
	حدی	باد شدید	۱۵	-	۳۰ - ۵۰**
	بار طولی نامتعادل - پارگی سیم در یخ سنگین	یخ سنگین	-۵	-	۳۰ - ۵۰**
	بار طولی متعادل:	باد	-۵	-	۳۰ - ۵۰**
	- یخ و باد در یک طرف آسیان	باد	-	۲۰(۲۵)	۲۰ - ۰
	- باد بدون یخ در طرف دیگر	باد	-۲۰	-	-
	شرایط EDS	-	-	-	۱۵
	حداقل درجه حرارت	-۳۰	-	-	-
	حداکثر درجه حرارت	۳۰	-	-	-

(ب)

نوع منطقه	نوع بارگذاری	درجه حرارت	یخ (ضخامت شعاعی)	باد	مقدار ثابت
سنگین (۳)	استاندارد	باد متوسط	-۲۰	۲۰(۲۵)	۱۵
	بارگذاری	NESC-HEAVY	-۲۰	۱۷,۸(۲۰)	۱۲,۵
	حدی	باد شدید	۱۵	۴۰(۱۰۰)	-
	بار طولی نامتعادل - پارگی سیم در باد شدید	یخ و باد	-۵	-	۲۰ - ۲۵*
	بار طولی متعادل:	باد	-۵	-	۲۰ - ۲۵*
	- یخ و باد در یک طرف آسیان	باد	-۲۰	۲۰(۲۵)	۱۵ - ۰
	- باد بدون یخ در طرف دیگر	باد	-	-	-
	شرایط EDS	-	-	-	۱۸
	حداقل درجه حرارت	-۲۵	-	-	-
	حداکثر درجه حرارت	۳۵-۴۰	-	-	-
فوق سنگین (۴)	استاندارد	باد متوسط	-۲۰	۲۰(۲۵)	۲۰
	بارگذاری	NESC-HEAVY	-۲۰	۴۰(۱۰۰)	-
	حدی	باد شدید	۱۵	-	۳۰ - ۵۰**
	بار طولی نامتعادل - پارگی سیم در یخ سنگین	یخ سنگین	-۵	-	۳۰ - ۵۰**
	بار طولی متعادل:	باد	-۵	-	۳۰ - ۵۰**
	- یخ و باد در یک طرف آسیان	باد	-۲۰	۲۰(۲۵)	۲۰ - ۰
	- باد بدون یخ در طرف دیگر	باد	-	-	-
	شرایط EDS	-	-	-	۱۵
	حداقل درجه حرارت	-۳۰	-	-	-
	حداکثر درجه حرارت	۳۰	-	-	-

\* ارتفاع از سطح دریا: ۰-۲۰۰۰ متر - ۲۰ میلی متر ۱۵۰۰-۲۰۰۰ متر - ۲۵ میلی متر

\*\* ارتفاع از سطح دریا: ۲۵۰۰-۳۰۰۰ متر - ۳۰ میلی متر ۳۰۰۰-۴۰۰۰ متر - ۳۵ میلی متر ۴۰۰۰-۴۵۰۰ متر - ۴۰ میلی متر ۴۵۰۰-۵۰۰۰ متر - ۵۰ میلی متر

## جدول ۲. ضرایب اضافه بار

ضرایب اضافه بارهای واردہ از سیم روی دکل			نوع بارگذاری	
S.F. <sub>w</sub>	S.F. <sub>t</sub>	S.F. <sub>v</sub>	باد و بیخ و باد متوسط	بادگذاری
۲/۵	۱/۶۵	۱/۵	NESC LIGHT	استاندارد
۲/۵	۱/۶۵	۱/۵	NESC MEDIUM	متغیر
			NESC HEAVY	
۱/۱	۱/۱	۱/۱	باد شدید	بادگذاری
۱/۱	۱/۱	۱/۱	بیخ سنگین	حدی
۱/۱	۱/۱	۱/۱	پارگی سیم	بادگذاری
۱/۱	۱/۱	۱/۱	بیخ و باد در یک طرف دهانه	غیرمتغیر
			باد بدون بیخ در طرف دیگر	

S.F.<sub>w</sub>: ضریب اضافه بار باری نیروی قائم

S.F.<sub>t</sub>: ضریب اضافه بار باری نیروی انقی و طولی ناشی از کشش سیم

S.F.<sub>v</sub>: ضریب اضافه بار باری نیروی انقی ناشی از فشار باد

$$(1) \text{ در شرایطی که } KL/r < Cc$$

$$F_a = \left[ 1 - \frac{(KL/r)^t}{2Cc^t} \right] F_y \quad (1)$$

$$(2) \text{ در شرایطی که } KL/r > Cc$$

$$F_a = \frac{\pi^t E}{\left( \frac{KL}{r} \right)^t} \quad (2)$$

و مقدار  $Cc$  نیز چنین محاسبه می‌شود:

$$Cc = \pi \sqrt{\frac{2E}{F_y}} \quad (3)$$

فرمول‌های ۱ تا ۳ در شرایطی که نسبت عرض به ضخامت مقطع از مقدار تعیین شده‌ی زیر بیشتر نباشد، قابل استفاده است:

$$\left( \frac{b}{t} \right)_{lim} = \frac{661}{\sqrt{F_y}} \quad (4)$$

E: مدول کشسانی فولاد

Fy: تنش تسلیم فولاد

$\frac{KL}{r}$ : حداقل ضریب لاغری قطعه مهار شده

در شرایطی که مقدار  $\frac{b}{t}$  از مقدار ذکر شده در بالا بیشتر باشد از روابط ۵ و ۶ برای محاسبه تنش فشاری استفاده می‌شود:

$$F_{cr} = \left[ 1/8 - 0.8 \frac{b/t}{(b/t)_{lim}} \right] F_y \quad \frac{661}{\sqrt{F_y}} < \frac{b}{t} < \frac{992}{\sqrt{F_y}} \quad (5) \text{ اگر } \frac{b}{t} < \frac{992}{\sqrt{F_y}}$$

$$F_{cr} = \frac{588000}{(b/t)^2} \quad \frac{992}{\sqrt{F_y}} < \frac{b}{t} \quad (6) \text{ اگر } \frac{b}{t} > \frac{992}{\sqrt{F_y}}$$

نحوه محاسبه  $\frac{KL}{r}$  اعضا به صورت زیر است:

۱. برای پایه‌های دکل یا اعضا که در انتهای دارای اتصال ۱۰۰٪ مفصلی هستند،  $K = 1$  است.

۲. برای سایر اعضا که نیرو تحمل می‌کنند مقدار  $\frac{KL}{r}$  باید چنین محاسبه شود:

الف) برای اعضای با بار محوری در دو انتهای طول مهارنشده

$$\frac{KL}{r} = \frac{L}{r}$$

ب) برای اعضای که در یک انتها بار محوری و در انتهای دیگر دارای خروج از مرکزیت هستند و  $\frac{L}{r}$  آنها از مقدار  $120^\circ$  کمتر است:

$$\frac{KL}{r} = 30 + 0.75 \frac{L}{r}$$

ج) برای اعضای که در هر دو انتهای دارای خروجی از مرکزیت هستند و  $\frac{L}{r}$  آنها از  $120^\circ$  کمتر است:

$$\frac{KL}{r} = 60 + 0.5 \frac{L}{r}$$

## طراحی اعضا فرعی

برای اعضا فرعی دو نوع کنترل صورت می‌گیرد:

۱. برای اعضای که با محور افقی زاویه‌ی کمتر از  $30^\circ$  درجه دارند تحمل بار قائم ۱۵۰ کیلوگرم توسط عضو فرعی کنترل می‌شود.

۲. برای کلیه‌ی اعضا فرعی لاغری کمتر از  $250^\circ$  کنترل می‌شود.

## بهینه‌سازی دکل‌ها

روش زنتیک یک نوع جست‌وجوی اتفاقی است که در حل مسئله‌های گستته قابلیت‌های فراوانی دارد. این شیوه‌ی بهینه‌سازی با متغیرهای طراحی به صورت رشتۀ‌هایی با طول معین که به صورت  $0$  و  $1$  رمزگذاری شده‌اند، کار می‌کند. هر یک از این رشتۀ‌ها همانند کروموزوم در یک دستگاه زنده بوده و رمزهای دودوبی  $0$  و  $1$  مشابه زن‌ها است. هر رشتۀ نماینده یک طرح است. فنون زنتیکی سرشت تکراری دارند که با تعدادی طرح از پیش تعیین شده کار می‌کنند. تکرار هرگام یک نسل نامیده می‌شود. با توجه به معیار کیفی که صلاحیت نام دارد، طرح‌های مطلوب تر برای تولید نسلی بهتر انتخاب، و با عملکردهایی همانند تکثیر، پیوند و جهش، نسل جدیدی با صلاحیت بالاتر تولید می‌شود. با تکرار نسل‌ها، طرح‌ها بهبود می‌یابند و سرانجام طرح بهینه پیدا می‌شود.

در اینجا نیز مشابه اقدامات انجام شده‌ی قبلی<sup>[۷]</sup> از روش نیروها در کنار روش انرژی برای تسریع فرایند بهینه‌سازی استفاده شد. برای دکل‌هایی با تعداد اعضا کم نیز می‌توان چنین روشی را به کار برد. استفاده از ترکیب انرژی، روش نیروها و الگوریتم زنتیک منجر به حذف عملیات معکوس‌سازی ماتریس خواهد شد.

ابتدا لازم است اشاره‌ی کوتاه به روش‌های مختلف انرژی شود.

به طور کلی در رفتار غیر خطی مادی رابطه‌ی تنش - کرنش به شکل  $\sigma = f(\varepsilon)$  یا  $\varepsilon = g(\sigma)$  خواهد بود. در این صورت محاسبه‌ی انرژی کرنشی، انرژی مکمل، و انرژی پتانسیل کل مطابق رابطه‌های ۷ و ۸ خواهد بود:

$$U = \int \int g(\varepsilon) d\varepsilon dV, U^c = \int \int f(\sigma) d\sigma dV \quad (7)$$

$$V = U - \mathbf{P}^t \mathbf{u} \quad (8)$$

سازه با رفتار خطی، مجموع انرژی‌های مکمل ( $U^c$ ) و انرژی کرنشی ( $U$ ) صفر است، تابع هدف چنین انتخاب می‌شود:

$$F = W(1 + \alpha(U + U^c)) \quad (16)$$

که در آن  $\alpha$  یک عدد بزرگ انتخاب می‌شود. دیده می‌شود که تابع جریمه چنان اراوه شده است که کمینه‌ی آن صفر باشد. برای محاسبه‌ی  $U$ ، با تشکیل  $B_1$  و  $B_0$  متناظر با کلیه‌ی درجات آزادی، می‌توان نوشت:

$$\{d\} = [B_0^t][F_m](B_0 \cdot \{p\} + B_1 \cdot \{q\}) \quad (17)$$

$$U = \frac{1}{2}\{d\}^t[K](d) - \{d\}^t[F] \quad (18)$$

که در آنها  $[K]$  ماتریس سختی، و  $\{F\}$  نیروهای گرهی است. در هنگام تعادل، مقدار  $U$  منفی و مجموع آن با  $U^c$  برابر صفر است.

علاوه بر روابط ۱۷ و ۱۸ می‌توان با فرمول‌بندی دیگری سازه را به صورت بهینه طراحی کرد، بدون آن که نیاز به  $U$  باشد و فقط از  $U^c$  کمک گرفته شود. چنان‌که دیده شد  $U^c$  را می‌توان به صورت رابطه‌ی ۱۲ نوشت، و در تحلیل آن را کمینه کرد. مشتق‌گیری از این رابطه قبل از دست‌یابی به رابطه‌ی ۱۳، به رابطه‌ی ۱۹ خواهد رسید.

$$\frac{\partial U^c}{\partial q} = 0 \Rightarrow [H_{qp}]\{p\} + [H_{qq}]\{q\} = 0 \quad (19)$$

بنابراین باید  $q$  چنان انتخاب شود که رابطه‌ی ۱۹ برقرار شود (به جای این که بگوییم  $q$  باید رابطه‌ی ۱۵ را کمینه کند). اما سمت راست رابطه‌ی ۱۹ یک بردار صفر است، که برای استفاده باید به بردار اسکالار تبدیل شود. در بهترین حالت، نرم این بردار حساب می‌شود. نرم یک بردار جذر مجموع مرباعات درایه‌های آن است. اگر این نرم معادل صفر شود، چاره‌ی نیست جز آن که کل درایه‌ها صفر شوند. در روش قبل کمیت اسکالار به عنوان یک انرژی مکمل معرفی شده بود که برای صفر شدن آن مجبور شدیم آن را با انرژی ( $U$ ) ترکیب کنیم. در اینجا چنانچه هدف بهینه‌یابی مقاطع  $\{A\}$  و هندسه‌ی  $\{D\}$  باشد، می‌توان نوشت:

$$F(q, A, D) = W(A, D)(1 + \alpha \text{norm}([\mathbf{H}_{qp}]\{p\} + [\mathbf{H}_{qq}]\{q\})) \quad (20)$$

که در آن ورودی  $\{q\}$ ،  $\{A\}$  و  $\{D\}$  است. تعداد متغیرهای  $\{q\}$  کافی است به تعداد درجه‌ی ناعینی استاتیکی باشد، زیرا مابقی نیروها با توجه به هندسه و توبولوژی هر رشته از رابطه‌ی ۹ قابل محاسبه است. همچنین  $[\mathbf{H}_{qp}]$  و  $[\mathbf{H}_{qq}]$  تابع مشخصات انتخابی مقاطع، هندسه و توبولوژی خواهند بود که با داشتن این دو از رابطه‌ی بالا  $F$  محاسبه می‌شود، و کمینه‌شدن آن به ازای  $\alpha$  زیاد، یعنی کمینه‌شدن وزن ( $W$ ). چنانچه سازه قیود دیگری نیز داشته باشد، کافی است آنها را نرمالیزه، و سپس به کمک یک ضریب جریمه به رابطه‌ی بالا اضافه کنیم. لذا فرمول‌بندی نهایی مسئله عبارت است از:

$$\text{Find } q, A, D; A \in \{S_d \text{ or } S_c\}$$

$$\begin{aligned} \text{Min } F(q, A, D) &= W(A, D)(1 + \alpha[\text{norm}([\mathbf{H}_{qp}]\{p\} + \\ &[\mathbf{H}_{qq}]\{q\}) + \sum_{m=1}^{n_c} \max[0, g_m(q, A, D)]) \end{aligned} \quad (21)$$

که در آنها  $U$  انرژی کرنشی،  $U^c$  انرژی مکمل،  $V$  انرژی پتانسیل کل،  $P$  بارهای خارجی و  $u$  غیر مکان گره‌ها هستند. با توجه به قضیه‌ی اول کاستگلیانو برای هر سیستم ارجاعی (خطی یا غیرخطی) انرژی پتانسیل در حالت تعادل پایدار کمینه است و مشابه آن در قضیه‌ی دوم انرژی مکمل، چنانچه نیروهای داخلی سازگاری را ارض کشند، کمینه خواهد بود. به طور کلی  $U$  متناظر روش سختی و  $U^c$  نظری روش نرمی خواهد بود. در اولی به دنبال تغییر مکان‌ها، و در دومی به دنبال نیروهای مجھول می‌گردیم. از آنجا که در یک سازه‌ی ناعین، تعیین نیروها در قسمت نامعین سازه منجر به محاسبه‌ی ساده‌ی نیرو در سایر اعضا خواهد شد، استفاده از  $U^c$  و در واقع روش نرمی، ما را با مجھولات کمتری در تحلیل روبه‌رو می‌کنیم. به این ترتیب در ادامه با انتخاب روش نیرو بر مبنای اصل کمترین کار مراحل تحلیل بیان می‌شود. فرض کنید  $\{p\} = \{p_1, p_2, \dots, p_n\}^t$  به عنوان نیروهای گرهی،  $\{q\} = \{q_1, q_2, \dots, q_m\}^t$  به عنوان نیروی داخلی کلیه‌ی اعضا منظور شود. در این صورت از تعادل:

$$\{r\} = [B_0 \cdot \{p\} + B_1 \cdot \{q\}] = [B_0 \ B_1] \begin{bmatrix} p \\ q \end{bmatrix} \quad (9)$$

$$U^c = \frac{1}{2}\{r\}^t[F_m]\{r\} \quad (10)$$

که در آن  $[F_m]$  ماتریس نرمی سوارنشده‌ی سازه،  $\{p\}$  جواب ویژه و  $\{q\}$  جواب ویژه و  $\{r\}$  جواب مکمل است. اکنون  $\{q\}$  باید چنان تعیین شود که  $U^c$  حداقل شود. با جایگذاری  $\{r\}$  از رابطه‌ی ۹ در ۱۰ خواهیم داشت:

$$U^c = \frac{1}{2}[\mathbf{p} \ \mathbf{q}]^t[\mathbf{H}] \begin{bmatrix} \mathbf{p} \\ \mathbf{q} \end{bmatrix} \cdot [\mathbf{H}] = \begin{bmatrix} \mathbf{B}_0 \ \mathbf{B}_1 \end{bmatrix}^t [\mathbf{F}_m] \begin{bmatrix} \mathbf{B}_0 \ \mathbf{B}_1 \end{bmatrix} \quad (11)$$

با تفکیک  $[\mathbf{H}]$  به چهار جزء  $[\mathbf{H}_{pp}]$ ،  $[\mathbf{H}_{pq}]$ ،  $[\mathbf{H}_{qp}]$  و  $[\mathbf{H}_{qq}]$  در نهایت:

$$\begin{aligned} U^c &= \frac{1}{2}(\{\mathbf{p}\}^t[\mathbf{H}_{pp}]\{\mathbf{p}\} + \{\mathbf{p}\}^t[\mathbf{H}_{pq}]\{\mathbf{q}\} \\ &+ \{\mathbf{q}\}^t[\mathbf{H}_{qp}]\{\mathbf{p}\} + \{\mathbf{q}\}^t[\mathbf{H}_{qq}]\{\mathbf{q}\}) \end{aligned} \quad (12)$$

در روش کلاسیک از  $U^c$  نسبت به  $\{q\}$  مشتق گرفته، و با مساوی صفر قراردادن آن به رابطه‌ی ۱۳ می‌رسیم:

$$\{q\} = -[\mathbf{H}_{qq}]^{-1}[\mathbf{H}_{qp}]\{\mathbf{p}\} \quad (13)$$

از آنجا که ماتریس  $[\mathbf{H}]$  متقابران است لذا  $[\mathbf{H}_{qp}]^t = [\mathbf{H}_{pq}]$ . عبارت اول در رابطه‌ی ۱۲ ثابت است و عبارت‌های دوم و سوم آن با یکدیگر برابرند، لذا می‌توان آن را به صورت رابطه‌ی ۱۴ در نظر گرفت:

$$\begin{aligned} U^c &= \frac{1}{2}(\{\mathbf{p}\}^t[\mathbf{H}_{pp}]\{\mathbf{p}\} + \{\mathbf{q}\}^t[\mathbf{H}_{qp}]\{\mathbf{p}\} \\ &+ \{\mathbf{q}\}^t[\mathbf{H}_{qp}]\{\mathbf{p}\} + \{\mathbf{q}\}^t[\mathbf{H}_{qq}]\{\mathbf{q}\}) \end{aligned} \quad (14)$$

با جایگذاری  $\{q\}$  از رابطه‌ی ۱۳، دو عبارت آخر حذف می‌شود و در نهایت:

$$U^c = \frac{1}{2}(\{\mathbf{p}\}^t[\mathbf{H}_{pp}]\{\mathbf{p}\} + \{\mathbf{q}\}^t[\mathbf{H}_{qp}]\{\mathbf{p}\}) \quad (15)$$

در اینجا هدف ارائه‌ی یک فرمول‌بندی مناسب برای رسیدن به کمترین میزان وزن است. برای این منظور، با استفاده از این ایده که در حالت تعادل و سازگاری یک

MLFF کار می‌کنند. شبکه‌ی فوق از آنجا که معادل استنتاج‌گر فازی عمل می‌کند، مسلماً در جواب‌گویی به مسئله‌ی مورد نظر کارایی بیشتری خواهد داشت. یک شبکه‌ی مبتنی بر تابع شعاعی شامل یک لایه‌ی ورودی از گره‌های منبع، یک لایه‌ی مخفی از واحدهای پردازش غیرخطی به همراه یک بایاس و یک لایه‌ی خروجی از وزن‌های خطی است. با استفاده از خروجی‌های محاسبه شده در لایه‌ی مخفی، در پاسخ به یک بردار ورودی و با استفاده از یک پاسخ مطلوب در خروجی، وزن‌ها تعیین می‌شوند.

تابع غیرخطی در لایه‌ی مخفی این شبکه‌ها (تابع پایه) عموماً گوسی‌شکل استخبار می‌شوند، و پارامترهای آنها شامل مرکز و عرض تابع است. به طور ساده می‌توان گفت که هر نرون لایه‌ی مخفی هنگامی دارای خروجی بزرگ‌تر است که بردار ورودی شبکه به مرکز تابع غیرخطی نرون نزدیک‌تر باشد. با افزایش فاصله‌ی بردار ورودی از مرکز تابع غیرخطی، خروجی نرون نزدیک‌تر می‌باشد. از جمله شبکه‌های متناظر با RBF می‌توان به شبکه‌های GRNN<sup>(۵)</sup> اشاره کرد. این شبکه‌ها به لحاظ ساختار همانند RBF عمل می‌کنند و فقط در ساختار لایه‌ی دوم آنها اندکی تفاوت وجود دارد. در اینجا خروجی شبکه به صورت ترکیب خطی از حاصل ضرب داخلی خروجی‌های شبکه در خروجی لایه‌ی مخفی خواهد بود که در نهایت نرمالیزه می‌شود. بدیهی است در چنین شرایطی تأثیربیزی خروجی نسبت به خروجی‌های آموزش داده شده بیشتر می‌شود. یعنی خروجی‌های شبکه در رسیدن به یک خروجی خاص تأثیر مستقیم خواهد داشت. چنین شبکه‌یی قادر است به ازای هر ورودی خاص، ابتدا ورودی‌های نزدیک به ورودی مورد نظر در مجموعه داده‌های آموزشی را انتخاب کند و سپس با توجه به فاصله‌ی هر کدام از آنها از ورودی مربوطه — که معمولاً «فاصله‌ی اقلیدسی» نامیده می‌شود — خروجی نظیر را محاسبه کند. این خروجی را می‌توان به نحوی ترکیبی از چند خروجی متناظر در سری داده‌های آموزشی، که دارای ورودی‌های نزدیک به ورودی مورد نظر ما هستند، دانست.

ویژگی‌های اشاره شده شبکه را برای حل مسائلی با تعداد نرون‌های ورودی و خروجی زیاد و سری آموزشی کم، کارساز می‌کند. این همان موردی است که در این نوشتاب آن برخورد خواهیم کرد. از آنجا که معمولاً در برگذاری دکل‌ها با حالات مختلفی رو به رو خواهیم بود؛ لذا باید برای هر حالت، برگذاری یک شبکه آموزش داده شود. سرعت بالای آموزش شبکه‌های RBF از این نظر مشکلی ایجاد نخواهد کرد. به این ترتیب شبکه‌ی مورد نظر برای حالت برگذاری نام چنین معرفی می‌شود: NN<sup>(۶)</sup>: RBF (Area,[Force, Displacement])

با انجام مثال‌های مختلف دیده شد که به منظور کنترل خروجی‌های شبکه، مناسب‌تر آن است که در کنار آموزش شبکه در هر نسل، ۵٪ هریک از زیرجامعه‌ها با استفاده از تحلیل دقیق محاسبه شود. مزیت این روش آن است که در هر نسل این تعداد الگوی می‌تواند برای کنترل شبکه به کار گرفته شود، و مثلاً اگر خروجی شبکه با تحلیل دقیق دارای خطایی بیشتر از یک حد مشخص شود، بیان‌کر آن است که از این گام به بعد محدوده‌ی متغیرها تفاوت یافته و باید شبکه‌ی جدیدی با داده‌های جدید آموزش داده شود. اما از آنجا که انتخاب اولیه‌ی نسل اول تصادفی بوده و کل محدوده‌ی جست‌وجو را می‌پوشاند، در کلیه‌ی مثال‌ها دیده شد که هیچ‌گاه نیاز به آموزش مجدد شبکه نبوده و شبکه‌ی اولیه‌ی تا انتهای به کار گرفته می‌شود. لازم به ذکر است که ابتدا خود تابع هدف به عنوان خروجی شبکه به کار گرفته شد، اما با انجام چند مثال دیده شد که نتایج مناسبی را ارائه نمی‌دهد.

استفاده از شبکه به سادگی محدوده‌ی جواب را ارائه می‌دهد، اما چنان که ذکر شد نمی‌توان در مراحل انتها بیان کرد. به این ترتیب یک معیار

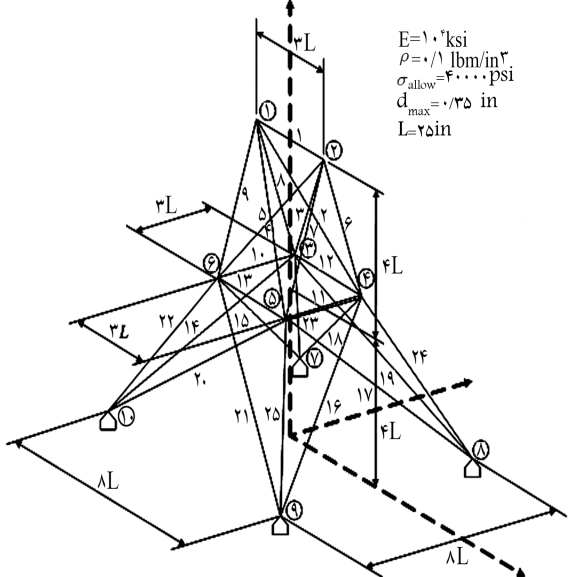
که در آن  $S_d$  و  $S_c$  به ترتیب معرف مقاطع منفصل یا متصل‌اند.  $g_m(q, A, D)$  بیان‌کر میزان نقض قیود، و  $nc$  نشان‌گر تعداد قیود (شامل قید تنش، تغییر مکان و قید کماش) خواهد بود. مزیت مهم این فرمول بندی گنجانیده شدن عبارت تحلیل‌گر در داخل تابع هدف است، و بهمین دلیل یک فرمول بندی مناسب برای الگوریتم زنگنه است. بنابراین در روند بهینه‌سازی نیازی نیست که به ازای هر رشته در هر نسل، محاسبات مربوطه را یک برنامه‌ی تحلیل‌گر انجام دهد. سرعت بدکارگیری چنین روشنی بسیار بالا است.

در روش فوق چنانچه بهینه‌سازی مقاطع هدف باشد، سطح مقطع هر عضو با توجه به دسته‌بندی اعضاء انتخاب می‌شود؛ و چنانچه هدف بهینه‌سازی مقاطع و هندسه باشد، این دو متغیر به عنوان مجھولات مسئله انتخاب می‌شوند. به این ترتیب متغیرهای مسئله در مقایسه با روش قبل کمتر خواهد بود سپس برای تحلیل هر یک از اعضاء نسل‌ها از یک تحلیل‌گر استفاده می‌شود. انجام چنین امری بسیار طولانی خواهد بود، چراکه با بزرگ‌شدن مسئله اعضای هر نسل نیز بیشتر می‌شود؛ همچنین محاسبات تحلیل هر سازه باعث کندی عملیات بهینه‌سازی و گاه‌آ عدم هم‌گارای آن خواهد شد. در این حالت ابتدا برای چند نسل اولیه از برنامه‌ی تحلیل‌گر استفاده می‌شود؛ سپس سطح مقطع اعضاء به عنوان ورودی، و نیروی اعضا و جایه‌جایی‌های مورد نظر (در هر سازه ممکن است بر روی چند گره خاص محدودیت تغییر مکان وجود داشته باشد) به عنوان خروجی شبکه انتخاب می‌شود. پس از آموزش این شبکه، وظیفه‌ی تحلیل بر عهده‌ی شبکه خواهد بود. در انجام چنین کاری با چند مشکل رو به رو خواهیم شد.

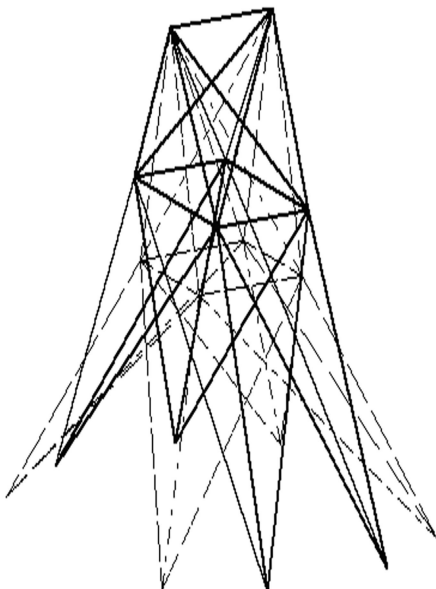
اولاً بدهی است که شبکه‌ها درواقع تقریب زننده‌های تابعی بسیار مناسبی هستند و در مراحل پایانی الگوریتم زنگنه جواب‌های هر نسل ممکن است با نسل قبل اختلاف بسیار ناچیزی داشته باشد. بنابراین استفاده از شبکه ممکن است در این مراحل منجر به بهینه‌های غیرواقعی شود که ناشی از تقریبی است که در تحلیل، بهواسطه‌ی استفاده از شبکه به وجود آمده است. در انجام مثال‌های مختلف دیده شد که این مشکل در بیشتر اوقات به جواب‌های نادرست خواهد انجامید. برای حل این مشکل کل نسل‌ها را به ۳ گروه تقسیم می‌کنیم. گروه اول و سوم از تحلیل دقیق و گروه دوم از شبکه استفاده می‌کند. برای این منظور ابتدا الگوریتم زنگنه با توجه به ابعاد مسئله و تعداد ورودی‌ها، از طریق تحلیل دقیق مقادیر نیرو و تغییر مکان دست می‌یابد. پس از آماده شدن داده‌های کافی، کلیه‌ی مقادیر سطح مقطع اعضاء به عنوان ورودی شبکه انتخاب می‌شوند. نیروی اعضا و تغییر مکان‌ها نیز تشکیل دهنده‌ی خروجی خواهد بود. نکته‌ی مهم آن است که آموزش چنین شبکه‌یی نباید به شدت زمان را بشنید، در غیر این صورت فاقد کارایی لازم است و شبکه تأثیر قابل توجهی در تسریع بهینه‌سازی نخواهد داشت.

تعداد نسل‌های مربوط به گروه اول باید به اندازه‌ی باشد که کل فضای جست‌وجو را چنان پوشش دهد که شبکه‌ی حاصل از آن از قابلیت ارائه‌ی جواب مناسب برخوردار باشد. این نکته کاملاً بستگی به ابعاد مسئله و تعداد متغیرهای طراحی آن دارد. به منظور رعایت دقت، پس از مهیا شدن حدوداً ۱۰ برابر تعداد نرون‌های ورودی می‌توان به شبکه‌ی حاصل از آن امیدوار بود. برای کنترل این موضوع، پس از آموزش شبکه، ضریب همبستگی حاصل از خروجی شبکه و داده‌های آزمودنی که معادل ۵٪ هر نسل است، به عنوان معیار صحت استفاده از شبکه در مراحل بعدی انتخاب می‌شود. مقدار این ضریب در اینجا حداقل برابر با ۹۹٪ انتخاب شده است.

در میان شبکه‌های مختلف، شبکه‌های با تابع پایه شعاعی (RBF) مناسب‌تر از بقیه‌اند. یکی از قابلیت‌های بسیار بالایی این نوع شبکه‌ها قدرت شناسایی الگوهای متفاوت در مدت زمان بسیار کم است و نیز در دسته‌بندی الگوها بسیار بهتر از



شکل ۲. هندسه‌ی یک دکل ۲۵ میله‌ی.



شکل ۳. هندسه‌ی تغییر یافته‌ی دکل ۲۵ میله‌ی در مقایسه با هندسه‌ی اولیه.

به مختصات گره‌ها، گره‌بندی اعضا و داده‌های طراحی است. در اینجا متغیرهای مسئله علاوه بر  $A$  و  $D$ ، شامل ۷ متغیر نیرویی  $q$  است. الگوریتم زنتیک به کارگرفته شده از نوع ساده (نک‌جمعیتی) است. با انتخاب جمعیتی برابر با  $40$ ، پس از  $50$  نسل تکرار، با نزد  $0.8^\circ$  برای پیوند و  $0.5^\circ$  برای جهش، مقایسه‌ی نتایج حاصله با دیگر نتایج موجود در جدول  $5$  آمده است. در شکل  $3$  نیز هندسه‌ی تغییر یافته در مقایسه با هندسه‌ی اولیه نشان داده است.

**مثال ۲:** در این مثال، بهینه‌یابی مقاطع و هندسه‌ی یک دکل  $244$  میله‌ی مورد نظر است (شکل  $4$ ). در این مسئله که نخستین بار توسط Saka معرفی شد<sup>[11]</sup> اعضای دکل به  $26$  گروه دسته‌بندی شده است. مدول کشسانی برابر  $210 \text{ KN/mm}^2$  و

توقف برای استفاده از شبکه باید به کارگرفته شود. بدیهی است بهترین انتخاب میران تعییرات در تابع هدف خواهد بود. در انجام مثال‌ها معیار توقف این است که چنانچه مقدار انحراف معیار تابع هدف هر نسل از  $2$  درصد میانگین آن نسل کمتر شود، خروجی‌ها تا اندازه‌ی  $\epsilon$  به هم نزدیک‌اند که شبکه ممکن است تقریب مناسبی ارائه ندهد. از اینجا به بعد شبکه کنار گذاشته شده و از تحلیل دقیق استفاده می‌شود. یادآور می‌شویم که با توجه به مشخص بودن محدوده‌ی هر متغیر در ابتدا، به طور معمول فضای جستجو پس از چند نسل به اندازه‌ی کافی پوشش داده می‌شود. یک شبکه صرفاً باید درون یابی مناسبی داشته باشد، که با توجه به تعدد داده‌ها در فضای محدود، این یک توقع بدیهی از شبکه است که جواب‌های مناسبی ارائه دهد. تابع هدف درست مشابه رابطه‌ی  $21$  است، با این تفاوت که نیازی به منظور کردن عبارت دوم نیست.

در این نوشتار از الگوریتم زنتیک مهاجرتی (چند جمعیتی) که کارایی آن در مسائل بسیار بزرگ نشان داده شده، بهره‌برداریم. همچنین نشان داده شده که این الگوریتم با احتمال بیشتری به بهینه‌ی کلی هم‌گرا می‌شود.<sup>[10-9]</sup> در این روش به جای استفاده از یک جامعه از چند جامعه‌ی مستقل از هم استفاده می‌شود. این زیرجامعه‌ها، مستقل از یکدیگر و به روش الگوریتم زنتیک برای چند نسل مشخص بهینه می‌شوند. پس از آن، در یابان هر نسل افرادی در بین جامعه‌ها مهاجرت می‌کنند. این روش نه تنها دارای سرعت محاسبات بالاتر است بلکه نسبت به روش‌های تک جامعه، نیاز به محاسبه‌ی تابع هدف کم‌تری دارد. نحوه انتخاب افراد برای مهاجرت ممکن است به صور مختلفی صورت پذیرد:

۱. انتخاب افراد برای مهاجرت به صورت تصادفی؛
۲. انتخاب بهترین فرد هر جامعه برای مهاجرت.

حالات‌های ممکن بسیاری برای ساختار مهاجرت افراد بین زیرجامعه‌ها وجود دارد. مثلاً مهاجرت می‌تواند به یکی از روش‌های زیر انجام شود:

۱. بین تمامی زیرجامعه‌ها (ساختار شبکه کامل یا بدون محدودیت)؛
۲. مهاجرت به صورت ساختار حلقه‌یی؛
۳. مهاجرت بین زیرجامعه‌های همسایه.

مجموعه‌ی ترین روش به منظور مهاجرت، مهاجرت بدون محدودیت یا همان شبکه‌ی کامل است. در این ساختار افراد می‌توانند از هر جامعه‌یی به جوامع دیگر مهاجرت کنند. برای هر زیرجامعه یک حوضچه برای کروموزوم‌های مهاجرت سایر زیرجامعه‌ها وجود دارد که افراد مهاجری که مابین اند به این زیرجامعه مهاجرت کنند، ابتدا در این حوضچه قرار می‌گیرند (می‌توان این حوضچه را به اداره‌ی مهاجرت هر کشور تشییه کرد): سپس از بین افراد، فردی به طور تصادفی انتخاب می‌شود و اجازه‌ی ورود به جامعه را می‌یابد.

با این ترتیب استفاده از ترکیب الگوریتم زنتیک مهاجرتی در کنار شبکه‌های عصبی، می‌تواند کمک مناسبی در بهینه‌سازی مسائل بزرگ معیار بهینه‌سازی باشد. کاربرد روش‌های ذکرشده در مثال‌های زیر دیده می‌شود. پایان کار در هر دو مثال زمانی است که درصد تعییرات وزن هر گام نسبت به گام قبل از یک هزارم تجاوز نکند.

### مثال‌های کاربردی

**مثال ۱:** هدف این مثال بهینه‌یابی مقاطع و هندسه‌ی یک دکل کوچک  $25$  میله‌ی مطرح شده در مقالات است که در شکل  $2$  هندسه‌ی اولیه آن نشان داده شده است. در جداول  $3$  و  $4$  نیز داده‌های این مسئله آمده است. این اطلاعات مربوط

جدول ۳. مختصات گرهها و گروه‌بندی اعضای دکل ۲۵ میلیمتری.

اعضا و گره‌های آنها	گروه	z cm(in)	y cm(in)	x cm(in)	گرده
۱(۱, ۲)	X <sub>۱</sub>	۵۰/۸(۲۰°)	۰/۰	-۹۵/۲۵(-۳۷/۵)	۱
۲(۱, ۴), ۳(۲, ۳), ۴(۱, ۵), ۵(۲, ۶)	X <sub>۲</sub>	۵۰/۸(۲۰°)	۰/۰	۹۵/۲۵(۳۷/۵)	۲
۶(۲, ۵), ۷(۲, ۴), ۸(۱, ۳), ۹(۱, ۶)	X <sub>۳</sub>	۲۵۴(۱۰°)	۹۵/۲۵(۳۷/۵)	-۹۵/۲۵(-۳۷/۵)	۳
۱۰(۳, ۶), ۱۱(۴, ۵)	X <sub>۴</sub>	۲۵۴(۱۰°)	۹۵/۲۵(۳۷/۵)	۹۵/۲۵(۳۷/۵)	۴
۱۲(۳, ۴), ۱۳(۵, ۶)	X <sub>۵</sub>	۲۵۴(۱۰°)	-۹۵/۲۵(-۳۷/۵)	۹۵/۲۵(۳۷/۵)	۵
۱۴(۳, ۱۰), ۱۵(۶, ۷), ۱۶(۴, ۹), ۱۷(۵, ۸)	X <sub>۶</sub>	۲۵۴(۱۰°)	-۹۵/۲۵(-۳۷/۵)	-۹۵/۲۵(-۳۷/۵)	۶
۱۸(۳, ۸), ۱۹(۴, ۷), ۲۰(۶, ۹), ۲۱(۵, ۱۰)	X <sub>۷</sub>	۰/۰	۲۵۴(۱۰°)	-۲۵۴(-۱۰°)	۷
۲۲(۳, ۷), ۲۳(۴, ۸), ۲۴(۵, ۹), ۲۵(۶, ۱۰)	X <sub>۸</sub>	۰/۰	۲۵۴(۱۰°)	۲۵۴(۱۰°)	۸
		۰/۰	-۲۵۴(-۱۰°)	۲۵۴(۱۰°)	۹
		۰/۰	-۲۵۴(-۱۰°)	-۲۵۴(-۱۰°)	۱۰

جدول ۴. داده‌های طراحی دکل ۲۵ میلیمتری.

متغیرهای طراحی	
$X_1; X_2; X_3; X_4; X_5; X_6; X_7; X_8$	متغیر ابعاد
$x_4 = x_5 = -x_2 = -x_6; x_8 = x_9 = -x_7 = -x_{10};$	متغیر هندسه
$y_7 = y_8 = -y_5 = -y_6; y_9 = y_{10} = -y_4 = -y_{11}; z_3 = z_4 = z_5 = z_6$	
قيود طراحی	

قید تنش

$$(\sigma_t)_i \leq 275 \text{ MPa} (\text{ksi}), \quad i = 1, \dots, 20$$

$$|(\sigma_c)_i| \leq 275 \text{ MPa} (\text{ksi}), \quad i = 1, \dots, 20$$

قید مربوط به جایه‌جایی در تمام جهات

$$|\Delta_i| \leq ۰/۸۹ \text{ cm} (۰/۳۵ \text{ in}); \quad i = 1, \dots, 6$$

قید مربوط به متغیرهای هندسه

$$50/\text{cm}(20 \text{ in}) \leq x_4 \leq 152/4 \text{ cm}(60 \text{ in}); \quad 10/16 \text{ cm}(40 \text{ in}) \leq x_8 \leq 20/3/2 \text{ cm}(80 \text{ in});$$

$$10/16 \text{ cm}(40 \text{ in}) \leq y_7 \leq 20/3/2 \text{ cm}(80 \text{ in}); \quad 254 \text{ cm}(100 \text{ in}) \leq y_8 \leq 355/6 \text{ cm}(140 \text{ in});$$

$$228/6 \text{ cm}(90 \text{ in}) \leq z_7 \leq 330/2 \text{ cm}(130 \text{ in});$$

$$p = ۰/۰ ۲۵۴ \text{ cm}(۰/۰ ۱ \text{ in})$$

## لیست مقاطع موجود

$$A_i \in S = \{0/645I (I = 1, \dots, 26), 18/64, 19/305, 20/645, 21/935\} \text{ cm}^3$$

$$A_i \in S = \{0/1I (I = 1, \dots, 26), 2/8, 3/0, 3/2, 3/4\} \text{ in}^3; \quad i = 1, \dots, 25$$

بارگذاری

F <sub>x</sub> kN(kips)	F <sub>y</sub> kN(kips)	F <sub>z</sub> kN(kips)	گرده	حالت
۴/۴۵۴(۱/۰)	-۴۴/۵۳۷(-۱۰/۰)	-۴۴/۵۳۷(-۱۰/۰)	۱	۱
۰/۰	-۴۴/۵۳۷(-۱۰/۰)	-۴۴/۵۳۷(-۱۰/۰)	۲	
۲/۲۲۷(۰/۵)	۰/۰	۰/۰	۳	
۲/۶۷۲(۰/۶)	۰/۰	۰/۰	۶	

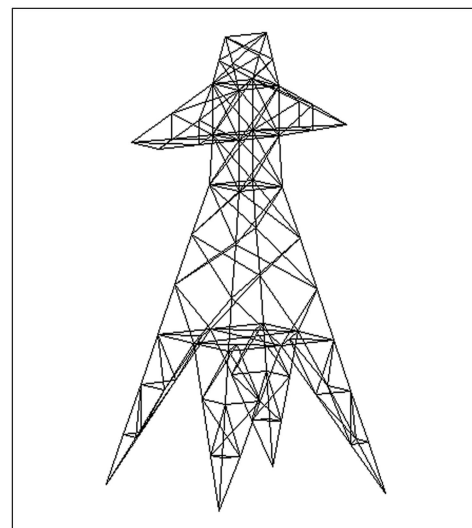
## مشخصات مواد

$$E = ۶/۸۹۵ \times ۱۰^4 \text{ MPa} (۱/۰ \times ۱۰^4 \text{ ksi}) \quad \text{مدول الاستیزیتیتی}$$

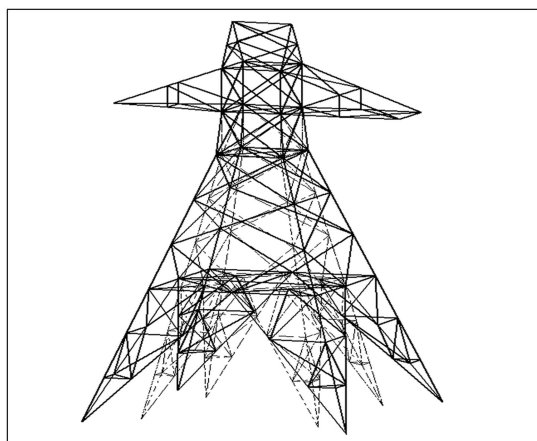
$$\rho = ۰/۰ ۲۷۲ \text{ N/cm}^3 (۰/۰ \text{ lb/in}^3) \quad \text{چگالی}$$

جدول ۶. حالات بارگذاری مربوط به دکل فضایی ۲۴۴ میله‌یی.

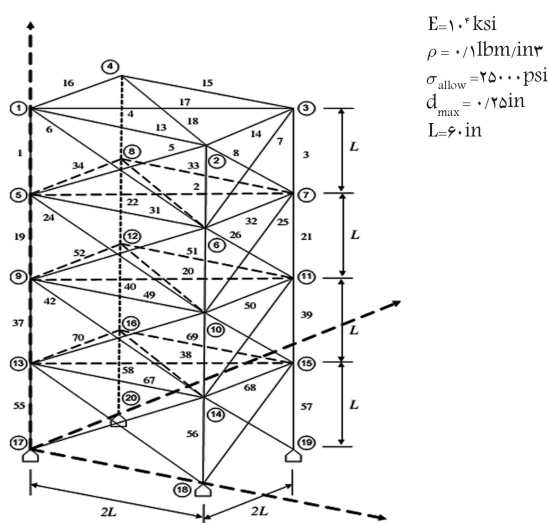
حالت	گره	بارگذاری (Kn)	جا به جایی	مجاز (mm)
z	x	z	x	
۱۵	۴۵	-۳°	۱۰	۱
۱۵	۴۵	-۳°	۱۰	۲
۱۵	۳°	-۹°	۳۵	۱۷
۱۵	۳°	-۴۵	۱۷۵	۲۴
۱۵	۳°	-۴۵	۱۷۵	۲۵
۱۵	۴۵	-۲۶°	۰	۱
۱۵	۴۵	-۲۶°	۰	۲
۱۵	۳°	-۱۸°	۰	۱۷
۱۵	۳°	-۹°	۰	۲۴
۱۵	۳°	-۹°	۰	۲۵



شکل ۴. هندسه‌ی دکل فضایی ۲۴۴ میله‌یی.



شکل ۵. هندسه‌ی تغییریافته‌ی دکل ۲۴۴ میله‌یی در مقایسه با هندسه‌ی اولیه.



شکل ۶. هندسه‌ی یک دکل فضایی ۷۲ میله‌یی.

متغیرهای طراحی	Wu <sup>[۱۱]</sup>	Wenyan <sup>[۱۲]</sup>	Kaveh <sup>[۱۳]</sup>	روش این نوشتار
A1	۰/۱	۰/۱	۰/۱	۰/۱
A2	۰/۲	۰/۱	۰/۱	۰/۱
A3	۱/۱	۱/۱	۱/۱	۱/۱
A4	۰/۲	۰/۱	۰/۱	۰/۱
A5	۰/۳	۰/۱	۰/۱	۰/۱
A6	۰/۱	۰/۲	۰/۱	۰/۱
A7	۰/۲	۰/۱	۰/۲	۰/۲
A8	۰/۹	۰/۷	۱/۰	۰/۸
X4	۴۱/۰۷	۳۵/۴۷	۳۶/۲۳	۳۲/۰۴۸۷
Y4	۵۲/۴۷	۶۰/۳۷	۵۸/۵۶	۵۳/۵۶۶۳
Z4	۱۲۴/۶	۱۲۹/۰۷	۱۱۵/۰۹	۱۲۹/۹۰۹۲
X8	۵۰/۸	۴۵/۰۶	۴۶/۴۶	۴۳/۷۸۲۶
Y8	۱۳۱/۴۸	۱۳۷/۰۴	۱۲۷/۹۵	۱۳۶/۸۳۸۱
(وزن lb)	۱۳۶/۲	۱۲۴/۹۴	۱۲۴/۰	۱۲۰/۱۱۴۹
حداکثر تنش	۱۵۵۸۹/۶۶	۱۸۲۲۸/۵۹	-	۱۷۱۵۷/۴
حداکثر جابه‌جایی	۰/۳۴۷	۰/۳۵۰۰	-	۰/۳۴۹۹۹۹۹۵

نش کششی مجاز برابر  $140 \text{ N/mm}^2$  منظور شده است. در طراحی این دکل کلیه‌ی ضوابط مطابق آیین نامه‌ی AISC در نظر گرفته شده است.

جدول ۶ بارگذاری این دکل را به همراه قیود تغییر مکان ارائه می‌دهد. برای این دکل دو حالت بارگذاری ارائه شده است. در طراحی اعضای آن از نبیشی تک

جدول ۸. نسبت مقادیر مربوط به قیود مختلف به مقادیر مجاز آنها.

الف) حالت اول: بهینه‌بایی مقطع.			
حالت بارگذاری	Max( $\sigma_t$ )/ $\sigma_a$	Max( $\sigma_c$ )/ $\sigma_b$	Max( $\sigma_e$ )/ $\sigma_a$
۱	۰,۹۹۹۹	۰,۹۹۹۹	۰,۷۴۴۳
۲	۰,۹۱۲۱	۰,۹۹۸۵	۰,۸۲۴۳
ب) حالت دوم: بهینه‌بایی مقطع و هندسه.			
حالت بارگذاری	Max( $\sigma_t$ )/ $\sigma_a$	Max( $\sigma_c$ )/ $\sigma_b$	Max( $\sigma_e$ )/ $\sigma_a$
۱	۰,۹۹۲۱	۱,۰۰۰۰	۰,۶۱۱۲
۲	۱,۹۹۸۷	۰,۹۹۸۳	۰,۷۴۲۶

$X$  و  $Y$  یکسان، و مختصات آن درج دود ۷۰۰ تا ۱۳۰۰ میلی‌متر استخراج می‌شود. همچنین در گره ۷۷ نیز محدود به ۲۰۰۰ تا ۵۰۰۰ میلی‌متر می‌شود. به منظور حفظ تقارن مسئله گره‌های ۲۶ و ۲۸ نیز با توجه به گره ۲۹ جایه‌جا می‌شوند. همچنین تغییر مکان گره‌های ۷۴ و ۷۵ نسبت به گره ۷۷ به صورت متقارن است. سایر گره‌ها متناسب با موقعیت این گره‌ها جایه‌جا می‌شوند تا فرم کالی دکل مشابه قبل باقی بماند. چنان‌که مثلاً راستی گره‌های ۲۹ تا ۷۷ و گره‌های متناظر بر روی یک خط راست قرار بگیرند.

جدول ۷ نتایج بهینه‌بایی را برای دو حالت فوق ارائه می‌دهد. همچنین در جدول ۸ (در ستون‌های دوم تا چهارم) به ترتیب نسبت بهینه‌بایی تنش موجود کششی به میزان مجاز، نسبت بیشترین تنش موجود فشاری به میزان مجاز آن بر مبنای تنش نظری کمانش، و همچنین نسبت بیشترین تغییر مکان موجود به میزان مجاز (در گره‌های خواسته شده) برای دو حالت فوق ارائه شده است. مشاهده می‌شود که هیچ نسبتی از ۱ فراتر نرفته است. لازم به ذکر است برای حالت دوم (هندسه و مقطع) مختصات گره ۲۹ برابر با  $(mm) = 1000$  برابر با  $X_1 = 3791/8$  و  $X_2 = 3791/8$  می‌باشد. شکل ۵ هندسه‌ی تغییر یافته‌ی دکل پس از بهینه‌بایی را نشان می‌دهد.

برای نشان دادن کارایی شبکه، مثلاً در دکل ۲۴۴ میلی‌متری با انتخاب ۴ زیرجامعه، که هریک دارای ۵۰ عضو هستند، پس از ۱۰ نسل، یک شبکه آموزش داده شده است. خروجی‌ها شامل نیرو و تغییر مکان‌ها خواهد بود. در جدول (۷) نتایج مربوط به استفاده از شبکه نیز آمده است. همان‌گونه که دیده می‌شود با اینکه تعداد زیرجامعه‌های حالت دوم کمتر است اما از آنجاکه در این روش سرعت استفاده از الگوریتم رزتیک به جهت تسریع محاسبات مربوط به آنالیز بالاتر می‌رود با تعداد نسل‌های ۲ برابر حالت اول اما در مجموع با زمان کمتر، نتیجه مناسب‌تری به دست آمده است.

مثال ۳: این مثال مربوط به خرپای سه بعدی ۷۲ میلی‌متری می‌باشد که در شکل ۶ آمده است. داده‌های این مساله در جدول ۹ دیده می‌شود. در اینجا هدف بهینه‌سازی مقطع می‌باشد. ولی مقایسه در اینجا مساله یکباره کمک رزتیک معمولی و بار دیگر با استفاده از رزتیک چند جمعیتی بررسی شده است. در روش اول یک جمعیت ۲۵۰ انتخاب شده است در حالی که در روش دوم تعداد زیر جمعیت‌ها ۶ و جمعیت هر نسل ۳۰ می‌باشد. محاسبات هر دو برای ۱۰۰ نسل انجام شده است. در نتایج دیده می‌شود که مقادیر وزن هر دو بسیار نزدیک به دست آمده است. به این ترتیب برای تعداد تکرار یکسان (۱۰۰) می‌توان در روش چند جمعیتی با تعداد جمعیت کمتر

جدول ۷. نتایج طراحی بهینه دکل ۲۴۴ میلی‌متری در دو حالت استفاده از شبکه و عدم استفاده از آن.

متغیرهای طراحی	بعاد	بعاد و هندسه	
		بدون شبکه	با شبکه
A1	۰,۱۹۹۶	۰,۱۹۲۳	۰,۱۹۴۰
A2	۱,۴۶۹۷	۱,۰۵۴۱۲	۱,۰۵۳۹۴
A3	۰,۱۹۳۶	۰,۱۹۲۰	۰,۱۹۲۰
A4	۱,۶۷۳۰	۱,۴۵۱۷	۱,۹۰۵۳۵
A5	۰,۱۹۹۵	۰,۲۳۶۱	۰,۱۹۲۱
A6	۱,۹۲۸۴	۲,۰۵۲۹۵	۲,۷۴۳۶
A7	۰,۱۹۴۸	۰,۱۹۲۰	۰,۱۹۲۰
A8	۲,۰۰۴۷	۲,۱۹۹۹	۲,۳۰۴۷
A9	۰,۱۹۴۸	۰,۱۹۲۰	۰,۱۹۲۰
A10	۰,۱۹۲۹	۰,۱۹۲۰	۰,۱۹۲۰
A11	۲,۲۴۴۵	۲,۰۱۹۲	۱,۶۶۸۱
A12	۱,۴۴۲۲	۱,۴۷۶۳	۱,۴۳۰۰
A13	۰,۱۹۴۲	۰,۱۹۲۰	۰,۱۹۲۰
A14	۰,۱۹۴۳	۰,۱۹۲۰	۰,۱۹۲۰
A15	۰,۳۰۵۴	۳,۶۰۹۶	۳,۵۴۰۷
A16	۰,۸۰۴۷	۰,۷۲۱۷	۰,۷۱۲۲
A17	۰,۱۹۴۵	۰,۱۹۲۰	۰,۱۹۲۰
A18	۰,۱۹۹۵	۰,۱۹۲۰	۰,۱۹۲۰
A19	۰,۱۹۳۶	۰,۱۹۲۰	۰,۱۹۲۰
A20	۴,۹۹۶۳	۲,۴۱۰۶	۲,۸۸۷۵
A21	۰,۶۷۵۴	۰,۴۶۱۷	۰,۴۳۴۴
A22	۰,۱۹۳۸	۰,۱۹۲۰	۰,۱۹۲۰
A23	۰,۱۹۷۱	۰,۱۹۲۰	۰,۱۹۲۰
A24	۰,۱۹۵۰	۰,۱۹۲۰	۰,۱۹۲۰
A25	۰,۱۹۷۰	۰,۱۹۲۰	۰,۱۹۲۰
A26	۰,۱۹۰۴	۰,۱۹۲۰	۰,۱۹۲۰
حجم (mm³)	۵,۵۵۴۷e۵	۴,۹۲۷۲e۵	۴,۸۹۱۹e۵

با حداقل سطح مقطع اعضا برابر با  $192\text{ mm}^3$  استفاده شده است. در اینجا ۶ زیرجامعه انتخاب شده است که هر یک دارای ۵۰ عضو می‌باشند. همین مسئله در تحقیقات دیگری مجدداً بررسی شده است [۱۵] اما ضوابط طرح از آینین نامه‌ی دیگری انتخاب شده است. در یکی از این تحقیقات مقدار حجم دکل برابر با  $5,41e5\text{ mm}^3$  به دست آمده است. [۱۶]

در اینجا علاوه بر تغییر مقطع، فرض می‌شود بخواهیم هندسه‌ی سازه را نیز تغییر دهیم. برای سادگی کار با توجه به فرم مناسب دکل برای اجراء، فرض می‌شود گره ۲۹ قابلیت جایه‌جا بایی در راستای  $X$  و  $Y$  را داشته باشد. میزان این جایه‌جای در راستای

جدول ۹. داده‌های طراحی برای دکل ۷۲ میله‌بی.

شماره گروه مقاطع	اعضای گروه
A1	۱, ۲, ۳, ۴
A2	۵, ۶, ۷, ۸, ۹, ۱۰, ۱۱, ۱۲
A3	۱۳, ۱۴, ۱۵, ۱۶
A4	۱۷, ۱۸
A5	۱۹, ۲۰, ۲۱, ۲۲
A6	۲۳, ۲۴, ۲۵, ۲۶, ۲۷, ۲۸, ۲۹, ۳۰
A7	۳۱, ۳۲, ۳۳, ۳۴
A8	۳۵, ۳۶
A9	۳۷, ۳۸, ۳۹, ۴۰
A10	۴۱, ۴۲, ۴۳, ۴۴, ۴۵, ۴۶, ۴۷, ۴۸
A11	۴۹, ۵۰, ۵۱, ۵۲
A12	۵۳, ۵۴
A13	۵۵, ۵۶, ۵۷, ۵۸
A14	۵۹, ۶۰, ۶۱, ۶۲, ۶۳, ۶۴, ۶۵, ۶۶
A15	۶۷, ۶۸, ۶۹, ۷۰
A16	۷۱, ۷۲

قیدهای طراحی
$\Delta_j \leq 0, 25in$
$j = 1, \dots, 20$
$-25ksi \leq (\sigma_\alpha)_i \leq 25ksi \quad i = 1, \dots, 72$
$0, 1in.^\circ \leq A_i, i = 1, \dots, 72$

داده‌های بارگذاری				
	شماره عضو	شماره حالت	x(kips)	y(kips)
۱	۱	۵	۵	-۵
۲	۱	۰	۰	-۵
۲	۰	۰	۰	-۵
۳	۰	۰	۰	-۵
۴	۰	۰	۰	-۵

مشخصات مصالح
$10^3 ksi$ مدول گسیختگی
$0,11p/in.^3$ چگالی

جدول ۱۰. نتایج طراحی دکل ۷۲ میله‌بی در مقایسه با سایر مراجع.

روش این نوشتر - ۱	روش این نوشتر - ۲	روز این نوشتر - ۱	Zhou and Rozvany <sup>[۱۶]</sup>	Erbatur et al. <sup>[۱۷]</sup>	شماره گروه
۱,۰۱	۱,۰۴	۱,۰۱	۱,۰۱	۱,۰۱	A1
۳,۴۶	۳,۵۱	۳,۴۸	۳,۴۸	۳,۴۸	A2
۲,۶۴	۲,۴۵	۲,۶۸	۲,۶۶	۲,۶۶	A3
۳,۶۷	۳,۳۶	۳,۶۸	۳,۶۲	۳,۶۲	A4
۳,۲۷	۳,۴۵	۳,۳۳	۳,۳۷	۳,۳۷	A5
۳,۳۵	۳,۴۵	۳,۳۴	۳,۴۰	۳,۴۰	A6
۰,۶۵	۰,۶۶	۰,۶۵	۰,۶۵	۰,۶۵	A7
۰,۶۵	۰,۷۲	۰,۶۵	۰,۶۵	۰,۶۵	A8
۸,۲۶	۸,۴۵	۸,۲۰	۸,۲۴	۸,۲۴	A9
۳,۳۲	۳,۲۱	۳,۳۴	۳,۲۶	۳,۲۶	A10
۰,۶۵	۰,۷۱	۰,۶۵	۰,۶۵	۰,۶۵	A11
۰,۶۵	۰,۶۶	۰,۶۵	۰,۶۵	۰,۶۵	A12
۱۲,۲۴	۱۲,۳۲	۱۲,۲۱	۱۲,۲۶	۱۲,۲۶	A13
۳,۳۳	۳,۳۹	۳,۲۷	۳,۳۰	۳,۳۰	A14
۰,۶۵	۰,۷۹	۰,۶۵	۰,۶۵	۰,۶۵	A15
۰,۶۵	۰,۶۶	۰,۶۵	۰,۶۵	۰,۶۵	A16
۱۶۹۰,۸۹	۱۷۰,۶,۳	۱۶۸۹,۵۳	۱۶۸۹,۴۴		وزن

## پانوشت

## منابع

- national electric standard committee(NESC)
- vertical load
- transversal load
- longitudinal load
- feneralized regression neural network

- Guide Lines for Electrical Transmission Line Structural loading, ASCE, Task Committee on Structure ASCE, manuals and report on Engineering Practice, No.74, (1991).
- IEC-826 Standard, loading and strength of Over-

- head Transmission Lines, International Electro-technical Commission, (1998).
3. Swedish State Power Board, National Electrical Safety Code, NESC, (1977).
  4. Task Committee on Tower Design of the Committee on Analysis and Design of Structures, Guide for Design of Steel Transmission Towers, Structural Division(1971).
  5. ASCE STANDARD, American Society of Civil Engineering, Design of Latticed Steel Transmission Structures, 10-97.
  6. TIA/EIA STANDARD, Structural Standard for Steel Antenna Towers and Antenna Supporting Structures, TIA/EIA-222-F.
  7. Kaveh,A. and Rahami,H.“Non-linear analysis and optimal design of structures via force method and genetic algorithm”, *Computers and Structures*, **84**, pp.770-778, (2006).
  8. MATLAB, The Language of Technical Computing, The Math Works, Inc, (2006).
  9. Mühlenbein, H.; Schomisch, M.; and Born, J. “The parallel genetic algorithm as a function optimizer”, *Parallel Computing*, **17**, pp. 619-632, (1991).
  10. Starkweather, T.; Whitley, D.; and Mathias, K. “Optimization using distributed genetic algorithms”, *Proc. Parallel Problem Solving From Nature 1*, Lecture Notes in Computer Science, No. 496, Springer-Verlag pp. 176-185, (1990).
  11. Wu, S-J. and Chow, P-T, “Integrated discrete and configuration optimization of trusses using genetic algorithms”, *Computers and Structures*, **55** (4), pp 695-702 (1995).
  12. Tang, W.; Tong, L.; and Gu, Y. “Improved genetic algorithm for design optimization of truss structures with sizing, shape and topology variables”, *International Journal of Numerical Methods in Engineering*, **62** pp. 1737-1762, (2005).
  13. Kaveh, A. and Kalatjari, V. “Size/geometry optimization of trusses by the force method and genetic algorithm”, *Z. Angew. Math. Mech.*, **84**(5) pp.347-357, (2004).
  14. Saka, MP. “Optimum design of pin-jointed steel structures with practical applications”, *Journal of Structural Engineering*, **116** (10), pp.2599=2620 (1990).
  15. Togan V. and Daloglu A. “Optimization of 3d trusses with adaptive approach in genetic algorithms”, *Engineering Structures*, **28** pp. 1019-1027, (2006).
  16. Zhou, M. Rozvany, G. An optimality criteria method for large sysems. Part ii: Algorithm. *Struct Multidiscip Optimiz* **6** ,250-62,(1993).
  17. Erbatur, F., et al., Optimal design of planar and space structures with genetic algorithms, *Computer and Structures*, **75**, pp.209-224, (2000).